

---

# Solución de la ecuación Schrödinger No lineal a través de diferencias finitas

UNIVERSIDAD  
DE ANTIOQUIA

Presenta:  
Sergio Castrillon  
Juan Andres Gonzales Moncada



# Contenido

- Introducción
- Marco teórico
  - Ecuaciones de Maxwell
  - Ecuación de schrodinger NL
  - Solución solitónica
- Método numérico
  - Desarrollo matemático
  - Implementación
- Soluciones solitónicas
- Soluciones solitónicas dispersivas
- Bibliografía

# Introducción

UNIVERSIDAD  
DE ANTIOQUIA

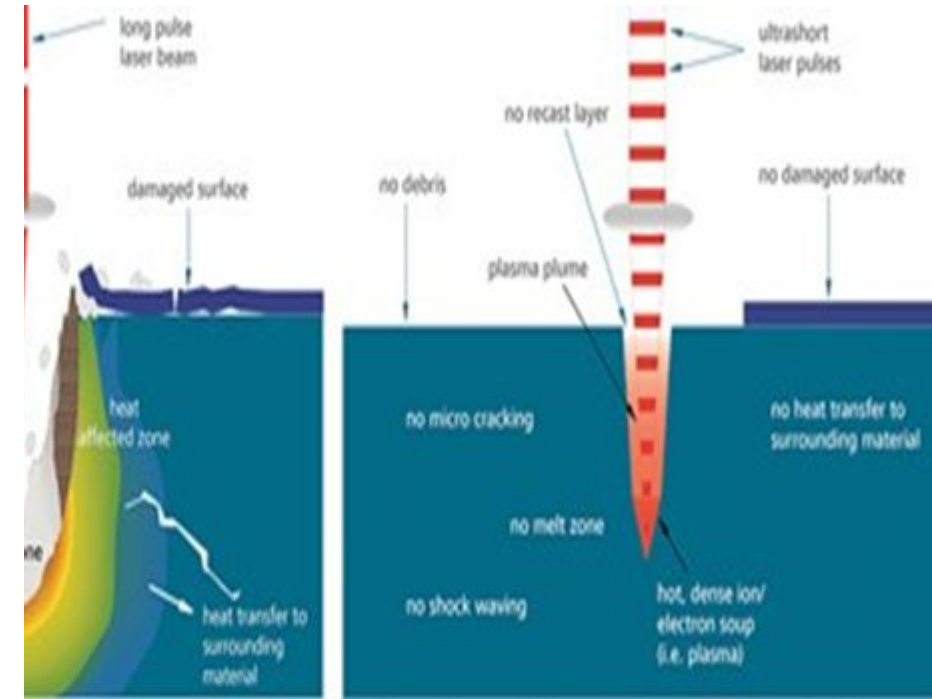
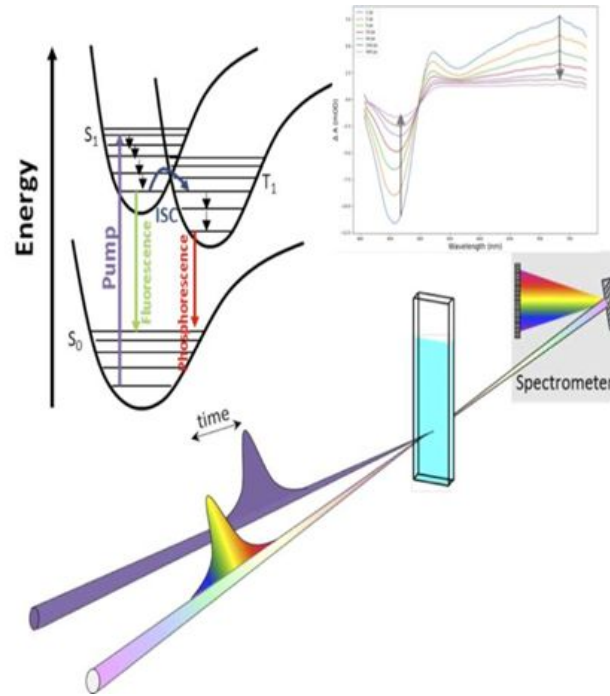
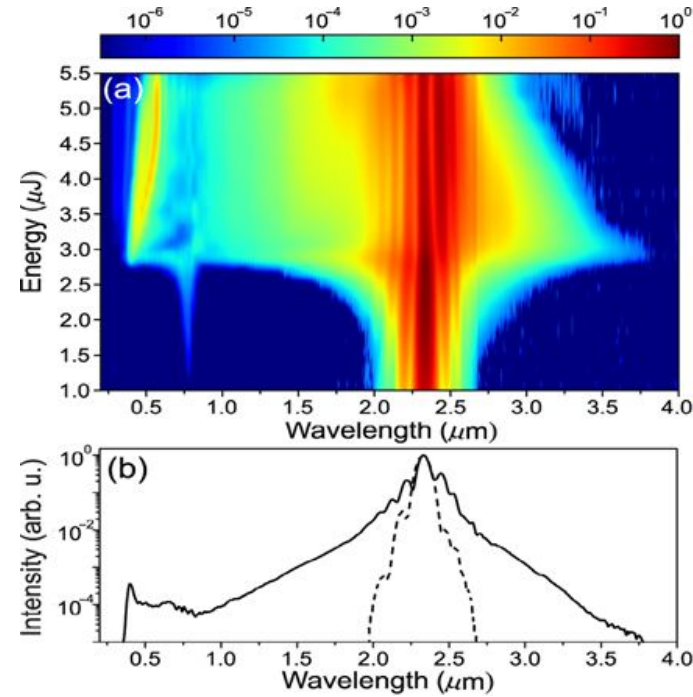


Fig 1. Diferentes aplicaciones de la generación de pulsos mode locked en a) Generación de supercontinuo [1] b) Espectroscopía [2] c) Medicina [3]

[1]. S. Venck, F. St-Hilaire, L. Brilland, A. N. Ghosh, R. Chahal and T. Sylvestre, "2–10  $\mu\text{m}$  Mid-Infrared Fiber-Based Supercontinuum Laser Source: Experiment and Simulation," *Laser Photonics Review* (2020).

[2]. T. Gherman and D. Romanini, "Mode-locked cavity-enhanced absorption spectroscopy," *Opt. Express* 10, 1033–1042 (2002).

[3]. <https://spie.org/news/spie-professional-magazine-archive/2011-january/lasers-in-medicine?SSO=1>

# Marco teórico

$$\begin{aligned}\nabla \times \mathbf{E} &= -\frac{\partial \mathbf{B}}{\partial t}, \\ \nabla \times \mathbf{H} &= \mathbf{J} + \frac{\partial \mathbf{D}}{\partial t}, \\ \nabla \cdot \mathbf{D} &= \rho_f, \\ \nabla \cdot \mathbf{B} &= 0,\end{aligned}$$

$$\mathbf{D} = \epsilon_0 \mathbf{E} + \mathbf{P},$$

$$\mathbf{B} = \mu_0 \mathbf{H} + \mathbf{M},$$

$$\mathbf{P}(\mathbf{r}, t) = \mathbf{P}_L(\mathbf{r}, t) + \mathbf{P}_{NL}(\mathbf{r}, t)$$

$$\nabla^2 \mathbf{E} - \frac{1}{c^2} \frac{\partial^2 \mathbf{E}}{\partial t^2} = \mu_0 \frac{\partial^2 \mathbf{P}_L}{\partial t^2} + \mu_0 \frac{\partial^2 \mathbf{P}_{NL}}{\partial t^2},$$

$$\tilde{E}(\mathbf{r}, \omega - \omega_0) = F(x, y) \tilde{A}(z, \omega - \omega_0) \exp(i\beta_0 z)$$

$$i \frac{\partial A}{\partial z} = -\frac{i\alpha}{2} A + \frac{\beta_2}{2} \frac{\partial^2 A}{\partial T^2} - \gamma |A|^2 A,$$

- 1) Onda cuasi monocromática.
- 2) Polarización NL como pequeña perturbación.
- 3) Se mantiene la polarización en la propagación.
- 4) Pulsos cortos\*

# Ecuación de Schrödinger NL

El comportamiento de la envolvente del pulso viene dado por

$$i\frac{\partial A}{\partial z} = -\frac{i\alpha}{2}A + \frac{\beta_2}{2}\frac{\partial^2 A}{\partial T^2} - \gamma|A|^2A,$$

Donde  $\alpha$  da cuenta de las pérdidas lineales del pulso,  $\beta$  da cuenta de la dispersión del pulso y  $\gamma$  es un parámetro de no linealidad particular del medio donde se está propagando [4]. Despreciando las pérdidas lineales se tiene una ecuación de la forma

$$i\frac{\partial \phi}{\partial t} - \frac{\beta}{2}\frac{\partial^2 \phi}{\partial x^2} + \gamma|\phi|^2\phi = 0 \quad (1)$$

Computacionalmente, buscamos resolver

$$i\frac{\partial\phi}{\partial t} - \frac{\beta}{2}\frac{\partial^2\phi}{\partial x^2} + \gamma|\phi|^2\phi = 0, x_L \leq x \leq x_R, t \geq 0 \quad (2)$$

Condiciones iniciales

$$\phi(x, t) = \sqrt{\frac{2a}{\gamma}} \operatorname{sech}\left(\sqrt{\frac{-2a}{\beta}}(x - ct)\right) \exp\left\{i\left[\left(\frac{-c}{\beta}\right)x + \left(a + \frac{c^2}{2\beta}\right)t\right]\right\}$$

$$\phi(x, 0) = g(x) \quad (3)$$

Condiciones de frontera

$$\frac{\partial\phi}{\partial x}(x, t) = 0, \text{ at } x = x_L, x_R \quad (4)$$

Donde  $\phi$  toma valores complejos  $\phi(x, t) = v(x, t) + iw(x, t) \quad (5)$

# Desarrollo matemático

Por componentes tenemos

$$\begin{aligned}\frac{\partial v}{\partial t} - \frac{\beta}{2} \frac{\partial^2 w}{\partial x^2} + \gamma(v^2 + w^2)w &= 0 \\ \frac{\partial w}{\partial t} + \frac{\beta}{2} \frac{\partial^2 v}{\partial x^2} - \gamma(v^2 + w^2)v &= 0\end{aligned}\tag{6}$$

En notación matricial tenemos

$$\frac{\partial}{\partial t} \begin{bmatrix} v \\ w \end{bmatrix} - \frac{\beta}{2} \begin{pmatrix} 0 & 1 \\ -1 & 0 \end{pmatrix} \frac{\partial^2}{\partial x^2} \begin{bmatrix} v \\ w \end{bmatrix} + \gamma \begin{pmatrix} 0 & v^2 + w^2 \\ -(v^2 + w^2) & 0 \end{pmatrix} \begin{bmatrix} v \\ w \end{bmatrix} = \mathbf{0}\tag{7}$$

Donde definimos

$$\boldsymbol{\phi} = \begin{bmatrix} v \\ w \end{bmatrix}, A = \begin{pmatrix} 0 & 1 \\ -1 & 0 \end{pmatrix}, \frac{\partial \boldsymbol{\phi}}{\partial t} - \frac{\beta}{2} A \frac{\partial^2 \boldsymbol{\phi}}{\partial x^2} + \gamma G(\boldsymbol{\phi}) \boldsymbol{\phi} = \mathbf{0}.\tag{8}$$



# Discretización

Discretizamos el espacio

$$x = x_m = x_L + (m - 1)h, \quad h = \frac{x_R - x_L}{N - 1}, m = 1, 2, \dots, N$$

Utilizamos la expresión de diferencia central para la segunda derivada

$$\frac{\partial^2 \phi_m}{\partial x^2} = \frac{1}{h^2} (\phi_{m-1} - 2\phi_m + \phi_{m+1}) \quad (8)$$

Lo cual nos permite escribir toda la ecuación diferencial en forma iterativa

$$\dot{V}_m - \frac{\beta}{2h^2} (W_{m+1} - 2W_m + W_{m-1}) + \gamma (V_m^2 + W_m^2) W_m = 0, m = 1, 2, \dots, N \quad (9)$$

$$\dot{W}_m + \frac{\beta}{2h^2} (V_{m+1} - 2V_m + V_{m-1}) - \gamma (V_m^2 + W_m^2) V_m = 0 \quad (10)$$



Donde las condiciones de frontera (4) toman la forma

$$\begin{aligned}\frac{\partial V_m}{\partial x} &= \frac{1}{2h}(V_{m+1} - V_{m-1}) = 0, \\ \frac{\partial W_m}{\partial x} &= \frac{1}{2h}(W_{m+1} - W_{m-1}) = 0, \text{ when } m = 1, N,\end{aligned}\tag{11}$$

Por lo que al despejar se puede obtener:

$$V_0 = V_2, W_0 = W_2, V_{N+1} = V_{N-1}, W_{N+1} = W_{N-1}\tag{12}$$

# Discretización

Juntando todo la ecuación (9) y (10) queda como

$$\dot{\Phi} + [S + B(\Phi)]\Phi = \mathbf{0} \quad (13)$$

Donde

$$S = \frac{\beta}{2h^2} \begin{bmatrix} 2A & -2A & 0 & \dots & 0 & 0 & 0 \\ -A & 2A & -A & \dots & 0 & 0 & 0 \\ 0 & -A & \dots & \ddots & 0 & 0 & 0 \\ & \vdots & & & \vdots & & \\ 0 & 0 & 0 & & 2A & -A & 0 \\ 0 & 0 & 0 & \dots & -A & 2A & -A \\ 0 & 0 & 0 & & 0 & -2A & 2A \end{bmatrix}$$
$$B(\phi) = \begin{bmatrix} B_1(\phi_1) & 0 & \dots & 0 & 0 \\ 0 & B_2(\phi_2) & \dots & 0 & 0 \\ & \vdots & \ddots & \vdots & \\ & 0 & 0 & \dots & B_{m-1}(\phi_{m-1}) & 0 \\ & 0 & 0 & & 0 & B_m(\phi_m) \end{bmatrix}$$

# Discretización

Discretizamos el tiempo

$$t_n = nk, n = 0, 1, 2, \dots,$$

E introducimos la expresión intrínseca y la derivada

$$\Phi_m^n = \frac{\Phi_m^{n+1} + \Phi_m^n}{2}, m = 1, 2, \dots, N, \quad (\dot{\Phi})_m^n = \frac{\Phi_m^{n+1} - \Phi_m^n}{k}$$

Reemplazando en la ecuación matricial (13) tenemos

$$\Phi^{n+1} - \Phi^n + k \left[ S + B \left( \frac{\Phi^{n+1} + \Phi^n}{2} \right) \right] \left( \frac{\Phi^{n+1} + \Phi^n}{2} \right) = \mathbf{0} \quad (14)$$

# Método de Newton

La ecuación (14) se puede expresar como [6]

$$F(\phi^{n+1}) = \mathbf{0} \quad (15)$$

Donde

$$F(\Phi) = [\mathbf{f}_1^T, \mathbf{f}_2^T, \dots, \mathbf{f}_N^T]^T \quad \mathbf{f}_m = [(f1)_m, (f2)_m]^T$$

$$\Phi = [\Phi_1^T, \Phi_2^T, \dots, \Phi_N^T]^T \quad \Phi_m = [V_m, W_m]^T$$

Se puede aplicar el método de Newton para sistemas no lineales para obtener

$$\Phi^{(j+1)} = \Phi^{(j)} - J^{-1} \left( \Phi^{(j)} \right) F \left( \Phi^{(j)} \right), j = 0, 1, 2, \dots, \quad (16)$$

# Método de Newton

$J$  es la matriz jacobiana del sistema (15). El cual viene dado por

$$J = \begin{bmatrix} A_1 & C_1 & \dots & 0 & 0 \\ B_2 & A_2 & & 0 & 0 \\ \vdots & & \ddots & \vdots & \\ 0 & 0 & \dots & A_{N-1} & C_{N-1} \\ 0 & 0 & & B_N & A_N \end{bmatrix} \quad (17)$$

donde los bloques  $A_i$ ,  $B_i$  y  $C_i$  se obtienen mediante

$$A_i = \begin{pmatrix} \frac{\partial(f1)_i}{\partial V_i} & \frac{\partial(f1)_i}{\partial W_i} \\ \frac{\partial(f2)_i}{\partial V_i} & \frac{\partial(f2)_i}{\partial W_i} \end{pmatrix}, i = 1, 2, \dots, N, B_i = \begin{pmatrix} \frac{\partial(f1)_i}{\partial V_{i-1}} & \frac{\partial(f1)_i}{\partial W_{i-1}} \\ \frac{\partial(f2)_i}{\partial V_{i-1}} & \frac{\partial(f2)_i}{\partial W_{i-1}} \end{pmatrix}, i = 2, 3, \dots, N, C_i = \begin{pmatrix} \frac{\partial(f1)_i}{\partial V_{i+1}} & \frac{\partial(f1)_i}{\partial W_{i+1}} \\ \frac{\partial(f2)_i}{\partial V_{i+1}} & \frac{\partial(f2)_i}{\partial W_{i+1}} \end{pmatrix}, i = 1, 2, \dots, N-1.$$

# Algoritmo de Craut

Para obtener la corrección la ecuación (17) resolvemos el sistema

$$J\left(\Phi^{(j)}\right)\mathbf{y}=\mathbf{F}\left(\Phi^{(j)}\right), j=0,1..., \quad (18)$$

Y dado que el jacobiano es tridiagonal por bloques resolvemos el sistema utilizando el método de Craut por bloques

$$L = \begin{bmatrix} l_{11} & 0 & \cdots & \cdots & 0 \\ l_{21} & l_{22} & \ddots & & \\ 0 & & \ddots & & \\ \vdots & & & \ddots & \\ 0 & \cdots & 0 & l_{n,n-1} & l_{nn} \end{bmatrix} \quad U = \begin{bmatrix} 1 & u_{12} & 0 & \cdots & 0 \\ 0 & 1 & & & \\ \vdots & & \ddots & & \\ 0 & \cdots & 0 & u_{n-1,n} & 1 \end{bmatrix}$$

- Definir las condiciones iniciales  $\phi^0$  mediante la función  $g(x)$
- Para cada paso  $n$  en el tiempo
  - Definir una primera aproximación  $\phi^{n+1} = \phi^n$ 
    - Definir el sistema  $Jy = F(y)$
    - Obtener una corrección  $y$  resolviendo el sistema con factorización LU
    - $\phi^{(j+1)} = \phi^{(j)} - y$
    - Repetir este proceso hasta que la corrección tienda a 0



# Soluciones solitónicas.

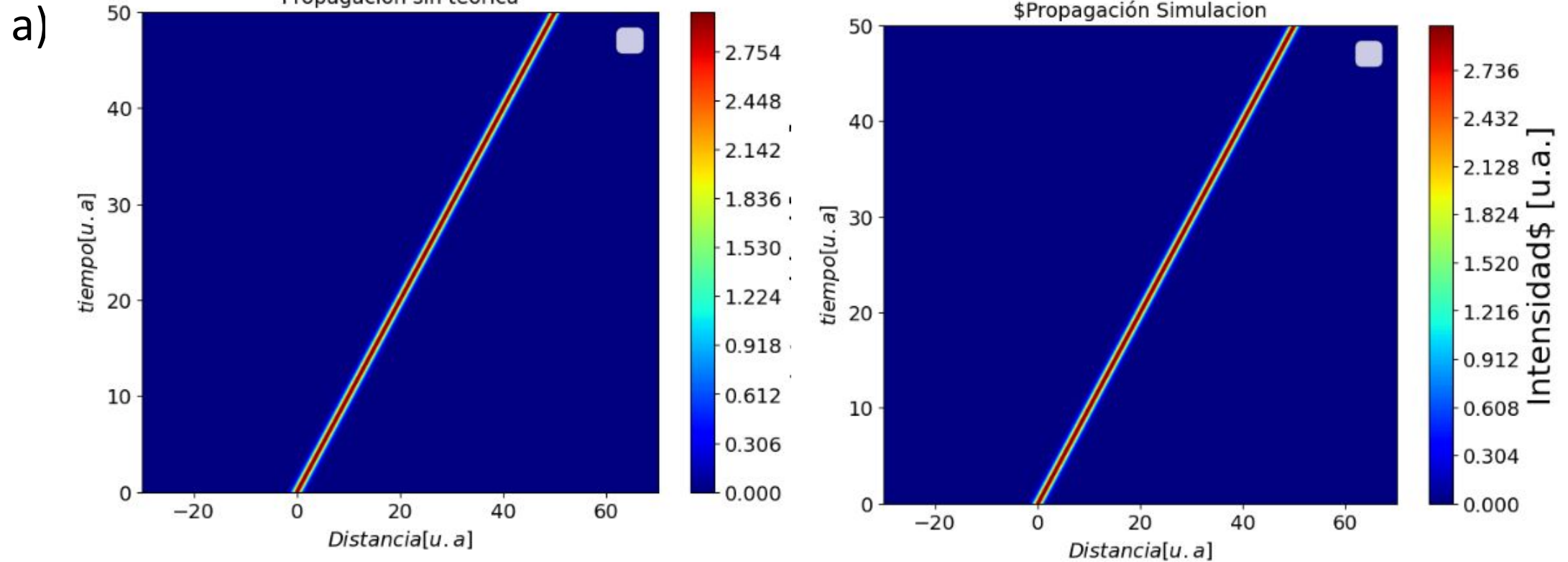
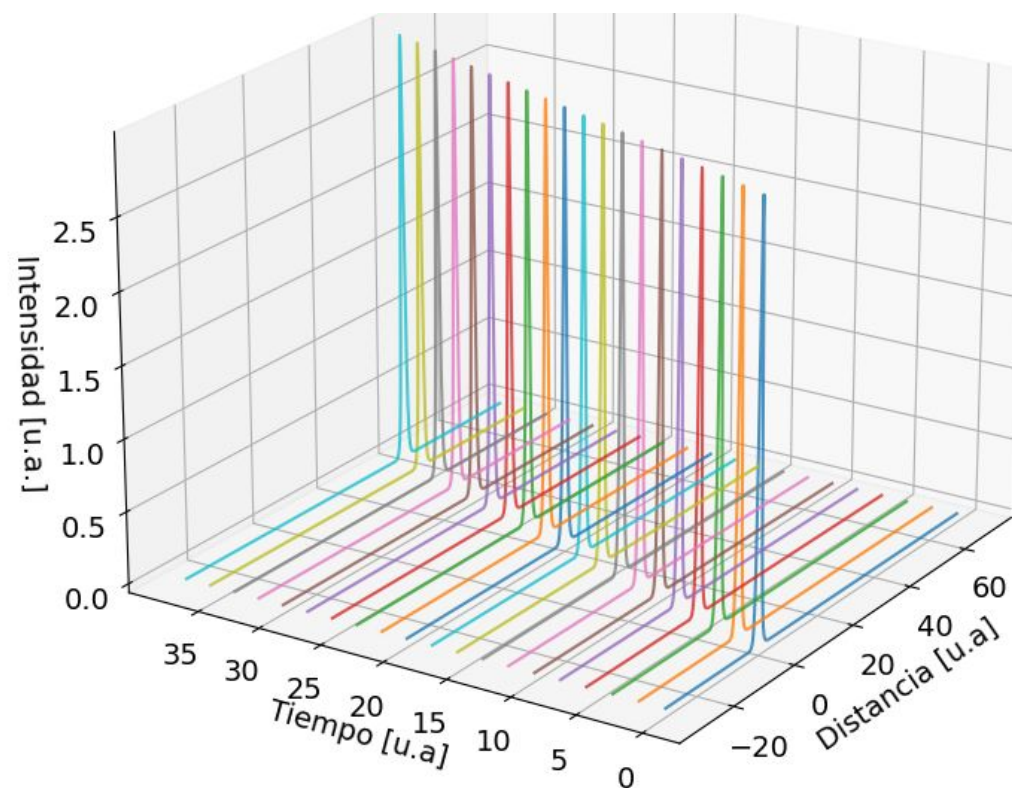


Fig. 2 a) Propagación de la solución teórica y b) De la solución numérica, para  $\beta=-1$ ,  $\gamma=2/3$

# Soluciones solitónicas.

UNIVERSIDAD  
DE ANTIOQUIA

a)



b)

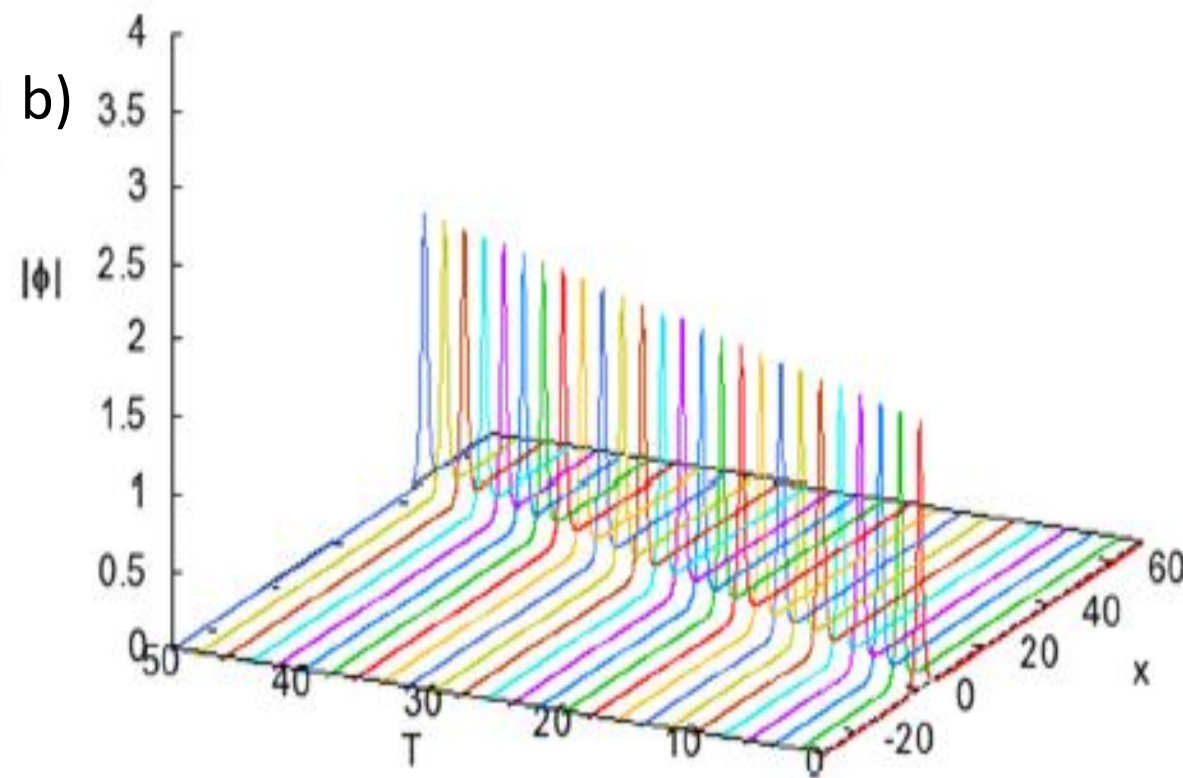


Fig. 2 a) Propagación de la solución teórica y b) De la solución numérica, para  $\beta=-1$ ,  $\gamma=2/3$

# Soluciones solitónicas.

a)

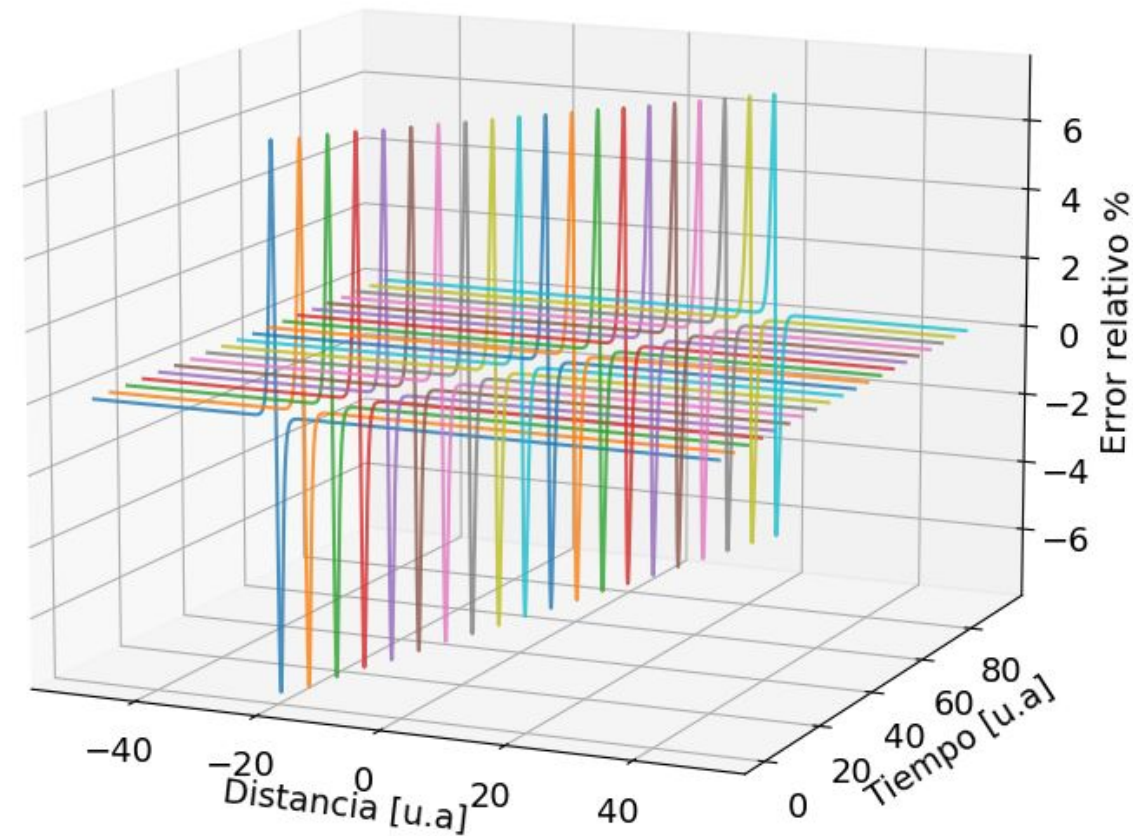
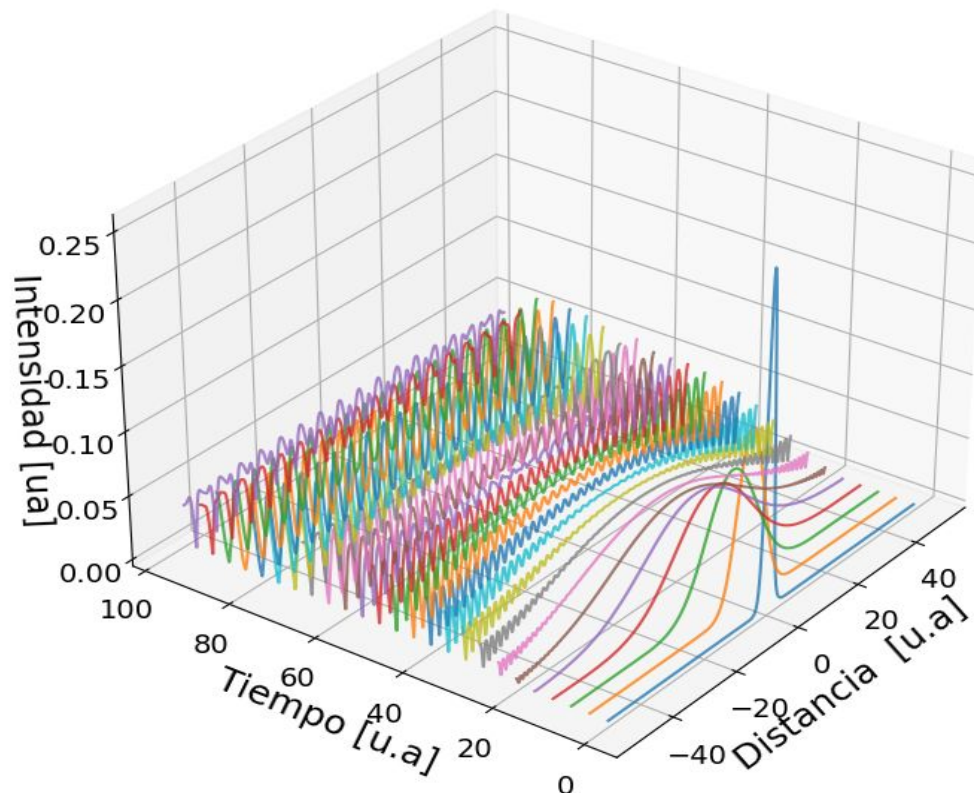


Fig. 3 a) Error relativo, para  $\beta=-1$ ,  $\gamma=2/3$

# Soluciones solitónicas dispersivas

UNIVERSIDAD  
DE ANTIOQUIA

a)



b)

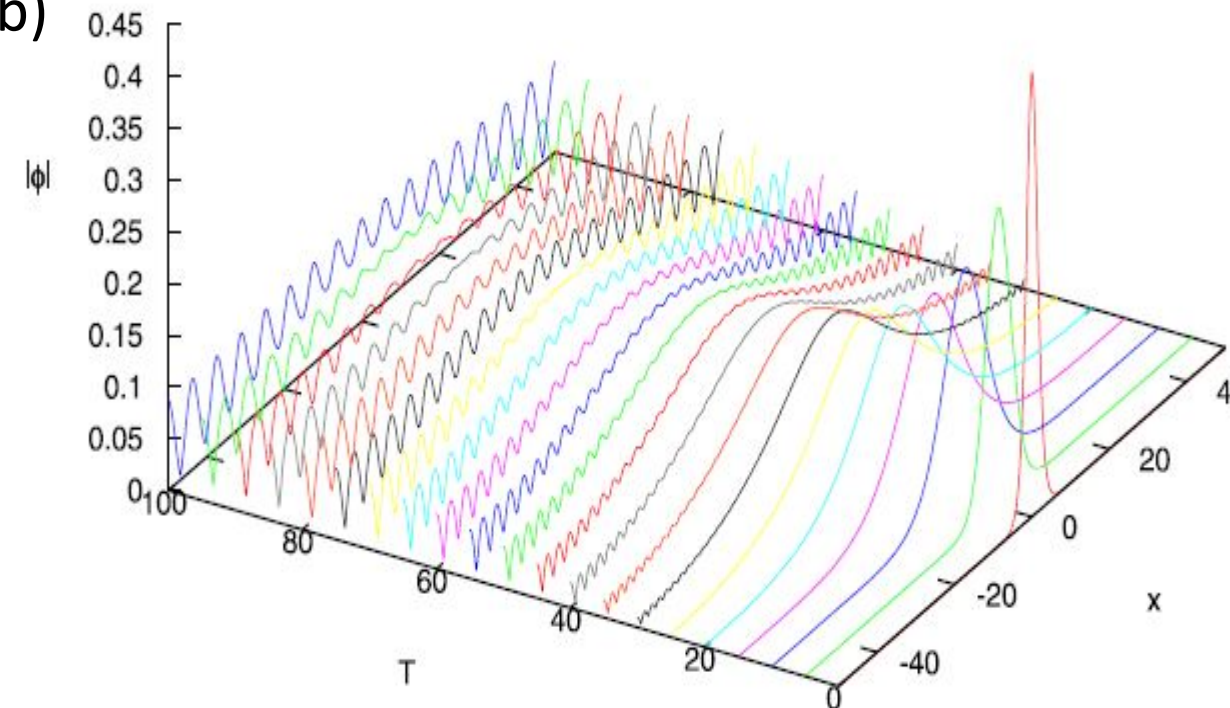
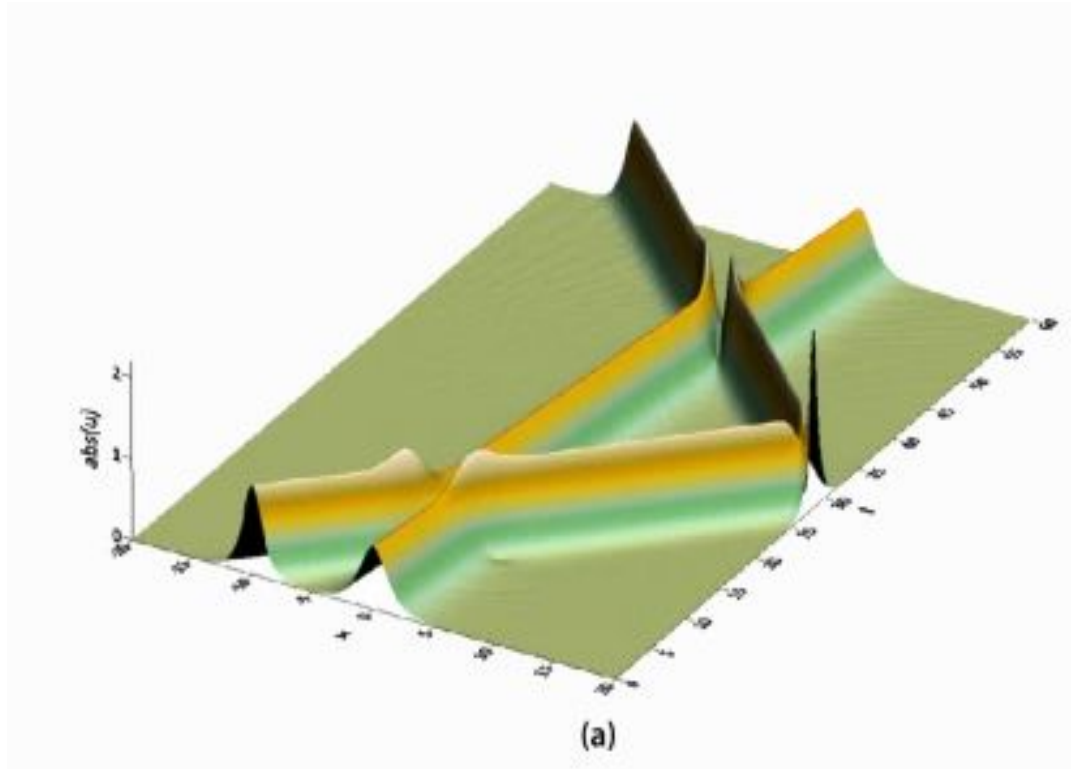


Fig. 4 a) Propagación de la solución teórica y b) De la solución numérica, para  $\beta=1$ ,  $\gamma=3$



# Solución dos solitones colisionando

a)



b)

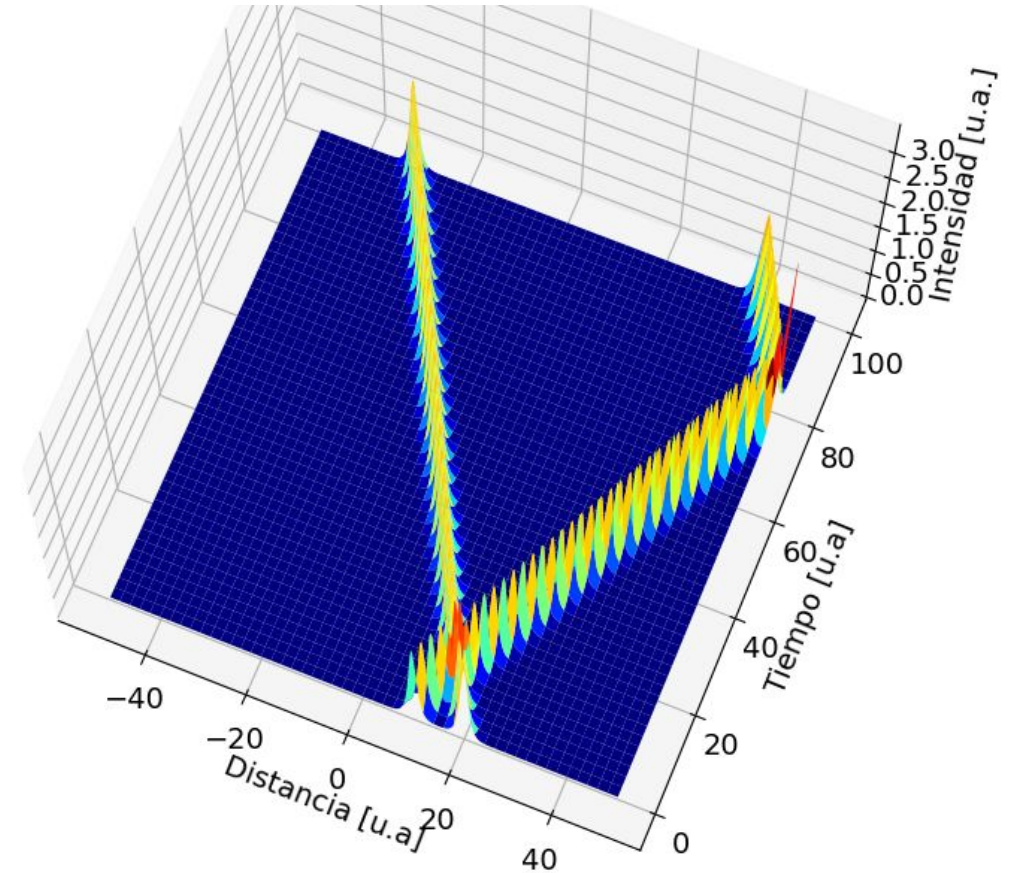


Fig. 5a) Propagación de la solución teórica y b) De la solución numérica, para  $\beta=1$ ,  $\gamma=3$

# Leyes de conservación

Físicamente, la ecuación de Schrödinger NL conserva la masa, energía y momento. Podemos evaluar las soluciones numéricas obtenidas al comprobar la conservación de estas cantidades durante la ejecución.

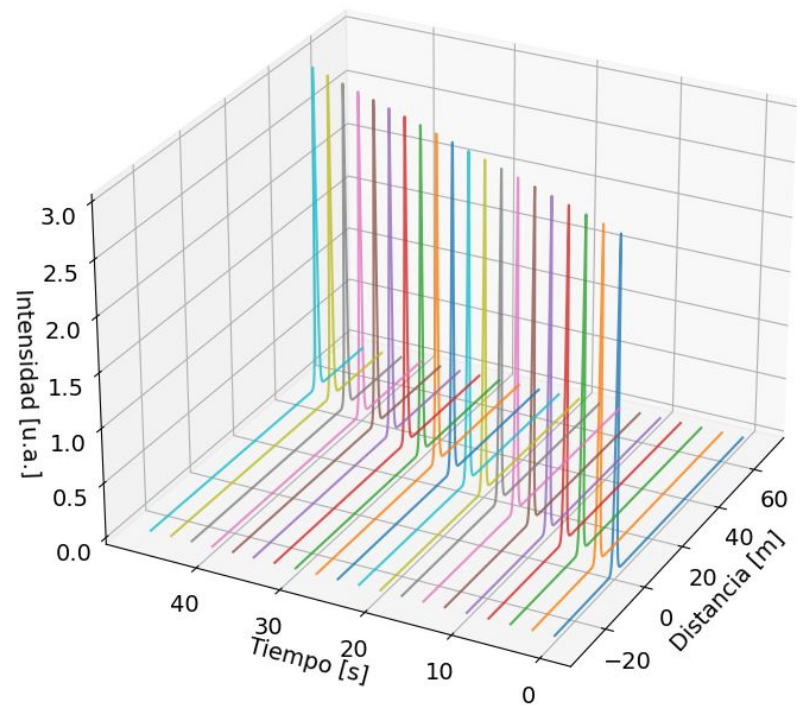
$$\int_{-\infty}^{\infty} |\phi|^2 dx = \text{constante} \implies \frac{h}{2} \left[ v_1^2 + w_1^2 + 2 \sum_{i=2}^{N-1} (v_i^2 + w_i^2) + v_N^2 + w_N^2 \right] = \text{constante}$$

$$i \int_{-\infty}^{\infty} \left( \bar{\phi} \frac{\partial \phi}{\partial x} - \frac{\partial \bar{\phi}}{\partial x} \phi \right) dx = \text{constante} \implies \sum_{i=2}^{N-1} \{ w_i (v_{i+1} - v_{i-1}) - v_i (w_{i+1} - w_{i-1}) \} = \text{constante}$$

$$\int_{-\infty}^{\infty} \left[ \frac{\beta}{2} \left| \frac{\partial \phi}{\partial x} \right|^2 + \frac{\gamma}{2} |\phi|^4 \right] dx = \text{constante} \implies \frac{\beta}{8h} \sum_{i=2}^{N-1} [(v_{i+1} - v_{i-1})^2 + (w_{i+1} - w_{i-1})^2] + \frac{\gamma h}{4} \left\{ (v_1^2 + w_1^2)^2 + 2 \sum_{i=2}^{N-1} (v_i^2 + w_i^2)^2 + (v_N^2 + w_N^2)^2 \right\} = \text{constante}$$



# Leyes de conservación



Tiempo	Masa	Momentum	Energía
1	4.2426	-8.4747	0.695
5	4.2426	-8.4746	0.69492
10	4.2426	-8.4747	0.69499
15	4.2426	-8.4747	0.69498
20	4.2426	-8.4747	0.69497
25	4.2426	-8.4747	0.69496
30	4.2426	-8.4746	0.69494
35	4.2426	-8.4747	0.69495
40	4.2426	-8.4746	0.69495
45	4.2426	-8.4746	0.69495
50	4.2426	-8.4746	0.69496



# Bibliografía:

- [1] Venck, S., St-Hilaire, F., Brilland, L., Ghosh, A. N., Chahal, R., Caillaud, C., ... & Sylvestre, T. (2020). 2–10  $\mu\text{m}$  Mid-Infrared Fiber-Based Supercontinuum Laser Source: Experiment and Simulation. *Laser & Photonics Reviews*, 14(6), 2000011.
- [2] Gherman, T., & Romanini, D. (2002). Mode-locked cavity-enhanced absorption spectroscopy. *Optics Express*, 10(19), 1033-1042.
- [3] Lasers in Medicine. SPIE. Recuperado el 31/05/2023 de <https://spie.org/news/spie-professional-magazine-archive/2011-january/lasers-in-medicine?SSO=1>
- [4] Agrawal, G. P. (2000). Nonlinear fiber optics. In *Nonlinear Science at the Dawn of the 21st Century* (pp. 195-211). Berlin, Heidelberg: Springer Berlin Heidelberg.
- [5] Alanazi, A. A., Alamri, S. Z., Shafie, S., & Binti Mohd Puzi, S. (2021). Solving nonlinear Schrodinger equation using stable implicit finite difference method in single-mode optical fibers. *Mathematical Methods in the Applied Sciences*, 44(17), 12453-12478.

## Bibliografía:

- [6] Ismail, M. S., & Alamri, S. Z. (2004). Highly accurate finite difference method for coupled nonlinear Schrödinger equation. *International Journal of Computer Mathematics*, 81(3), 333-351.
- [7] Burden, R. L., Faires, J. D., & Burden, A. M. (2015). *Numerical analysis*. Cengage learning.
- [8] Mousa, M. M., Agarwal, P., Alsharari, F. et al. Capturing of solitons collisions and reflections in nonlinear Schrödinger type equations by a conservative scheme based on MOL. *Adv Differ Equ* 2021, 346 (2021).  
<https://doi.org/10.1186/s13662-021-03505-7>

# UNIVERSIDAD DE ANTIOQUIA



@UdeA



@UdeA



@universidaddeantioquia